

Таблица 1

Землетрясения Прибайкалья

Распределение землетрясений по энергетическим классам K

Распределение землетрясений по энергетическим классам K

K	Число землетрясений и				юго-западная часть рифта (II)
	зоны	рифт	северо-восточ- ная часть рифта (I)		
14	2	1	1	1	- 1
13	3	2	1	1	2
12	7	3	1	4	2
11	18	6	22	22	14
10	72	36	82	82	38
9	257	120	288	288	152
8	966	440	529	529	163
7	1390	692	132	132	45
6	239	177	2	2	2
5	1,2	4	1062	1062	419
Всего	2966	1481	-0,54 ± 0,05	-0,54 ± 0,05	0,50 ± 0,27
γ	$-0,51 \pm 0,02$	$-0,49 \pm 0,05$	$1,55 \pm 0,08$	$1,32 \pm 0,09$	$1,10 \pm 0,10$
$\lg n_{10}$	$1,89 \pm 0,04$	$8 - 13$	$8 - 13$	$8 - 13$	$8 - 12$
Интервал классов K, расчетное γ					

Изучение сейсмической активности проводилось по наблюдениям той же региональной сети сейсмических станций, что и в 1975 г., но в обработку наблюдений занесены некоторые изменения. В отличие от предыдущих лет параметры всех элементарийских с $K \geq 9$ рассчитывались на ЭВМ по специальной программе [1]. В первом варианте программа применялась ранее [2].

В 1976 г. учитывались различия в качестве используемых наблюдений и в зависимости от этого применялись различные варианты программы. Вес менее точных сейсмических блюстетов знаком e_i был принят наблюдений, обозначаемых, в сейсмических блюстетах, i или без какого-либо символа.

равным единице, а вес наблюдений, обозначаемых l или без какого-либо символа, считался равным двум. Это значит, что отнопение средних прогрессийностей составляет $\sqrt{2} : 1$, и при подсчете значения квадратов невязок в ремене пробета, относящиеся к станицам с наблюдениями, не обозначенными символом e , удваивались, а при оценке ошибок соответствующие условные уравнения умножались на коэффициент, равный $\sqrt{2}$. Наблюдения, превышавшие узловинную стандартную ошибку,

исключались из рассмотрения.

При небольшом количестве наблюдений (до 20) такой порядок отбора данных мог привести к недостаточно обоснованной отбраковке полезных наблюдений по формальному признаку. Поэтому, исходя из опыта работы, критериям отбора задавалось значение средней стандартной невязки, равное 2 с. При большем числе наблюдений для выявления грубых ошибок, естественно, использовалось фактическое значение стандартной невязки

ски получаемое значение средней неизл.

Если в рассматриваемом диапазоне эпипентральных расстояний имелось инструментальное наблюдение на эпипентральных расстояниях до 50 км, то решение, включающее глубину очага, получалось по всей совокупности наблюдений над волнами S , \bar{P} и P — по минимуму сумм квадратов невязок для всех волн (поперечных и продольных). При этом использованные годографы волн P отвечали средней мощности земной коры в районе ~ 40 км, средней скорости продольных волн

в коре 6,4 км/с, скоростью волн $P = 8,0$ км/с, $P = 6,15$ км/с, $S = 3,58$ км/с. Если наблюдения на эпцентральных расстояниях до 50 км отсутствовали, эпицентр и время возникновения землетрясения определялись по моментам вступлений волн S и P , мало зависящим от глубины очага. При наличии наблюдений над волнами P они использовались для оценки глубины очага по координатам эпицентра и характеристикам земной коры.

данных эпидемиологических исследований (классы а, б, А, Б) проводилась в Классификации результатов по тонкости (классы а, б, А, Б). Классификация результатов по тонкости (классы а, б, А, Б) проводилась в соответствии с оценками пограничной определения координат эпидцентров. Обработка наблюдений над землетрясениями меньших энергетических классов ($K < 9$) осуществлялась, как и ранее. Для определения энергетического класса K применялась номограмма Раутиан.

Геогидиальный каталог землетрясений СССР, издан в 1979 г., включает в себя 8-й энергетический класс) включено по результатам обработки сейсмических наблюдений в регионе Алтай-Саяны и относится к афтершокам землетрясения ($K = 14$) из пограничного района между Восточной Тувой и Монголией. Вследствие этого общее число зарегистрированных землетрясений оказалось больше, чем в 1975 г.

Таблица 2
Землетрясения с $K \geq 12$, зарегистрированные в Байкальской сейсмической зоне в 1976 г.

№ п/п	Дата	Момент возникновения, ч м с	Координаты эпицентра		K
			φ° N	λ° E	
1	17.I	16 50 50,6	52,72	106,92	12
2	1.IV	04 31 11,0	51,20	98,00	14
3	1.IV	19 02 27,2	50,62	100,22	13
4	19.V	10 09 03,5	52,26	106,41	12
5	28.V	04 52 35,4	56,20	116,50	12
6	9.VI	13 42 44,8	47,97	102,80	12
7	17.VI	08 42 55,5	51,10	98,00	12
8	22.VI	01 06 06,0	51,22	97,85	12
9	23.IX	09 50 03,6	55,75	110,54	13
10	2.XI	14 55 59,6	56,19	111,59	14
11	24.XI	18 33 36,3	54,14	122,04	13
12	3.XII	01 50 33,7	54,15	122,09	12

Следует отметить, что земельные участки, приобретенные в результате наследования, не являются земельными участками, подлежащими обложению земельным налогом.

Региональный каталог включает 359 землетрясений с 9-го энергетического класса распределение числа землетрясений по энергетическим классам для различных территорий, соответствующие параметры графиков приведены в табл. 1. Значения величин γ близки к средним за более продолжительные периоды наблюдений.

са. Чардемгры землетрясении с $K \geq 12$ даны в табл. 2.

Результаты оценок глубин очагов при описанных выше расчетах на ЭВМ представлены ниже:

Следует подчеркнуть, что возможные погрешности этих оценок значительны, это неизбежно при использовании наблюдений достаточно редкой сети сейсмических станций. Этим можно объяснить максимальное число нулевых значений глубины очага. Программа расчета такова, что нулевая глубина приписывается всем случаям, когда за счет погрешностей должны были бы получиться отрицательные их значения. В целом глубины очагов согласуются с полученными ранее [3, 4].

Карта эпицентров землетрясений с $K \geq 9$ представлена на рис. 1 (см. вкл.), а карта эпицентров с $K = 7 \div 8$ — на рис. 2 (см. вкл.). Кarta сейсмической активности на рис. 3 (см. вкл.) построена на основе наблюдений над землетрясениями с $K \geq 9$. Иллюстрацией развития сейсмического процесса во времени в области Байкальского рифта служит график пространственно-временного распределения землетрясений с $K \geq 9$ в проекции на условную ось рифтовой системы (рис. 4), который строился по аналогии с предыдущими годами.

Эпицентры землетрясений в этом году концентрировались главным образом вдоль рифтовых структур. Отдельные землетрясения отмечены в Забайкалье и Северной Монголии, слабые землетрясения наблюдались в пределах Сибирской платформы. Отметим следующие особенности в распределении сейсмичности в этом году.

К северо-востоку от Баргузинского района, в эпицентрическом поле Байкальского рифта, определенно прослеживаются три сходящиеся ветви, выявляемые и в самом Баргузинском районе. Непрерывной цепью эпицентров представлена крайняя северо-западная полоса, проходящая через Верхне-Ангарскую впадину района Северного Байкала. Плотность эпицентров в средней полосе в 1976 г. была более высокой, чем обычно, что обусловлено группированием здесь слабых землетрясений, происшедшими в мае и ноябре. В юго-западном направлении средняя полоса определяется линейным расположением эпицентров в Баргузинском хребте и далее через п-ов Святой Нос к районам Среднего Байкала.

Как обычно, активна была линейная полоса, простирающаяся вдоль юго-восточного борта Баргузинской впадины. Наблюдалось меньшее число землетрясений в южной полосе на участке между центральной частью Икатского хребта и Циликанской впадиной. Другим малосейсмичным участком был район р. Витим у северо-восточного окончания Южно-Муйского хребта и в Муйской впадине. На востоке, постоянно отмечается концентрация эпицентров слабых землетрясений после Муйского землетрясения 1957 г. Наблюдаются переход от этого очень активного района к указанному неактивному.

В юго-западной части сейсмической зоны землетрясения концентрировались в основном у Главного Салинского разлома и его ответвлений. Обращает на себя внимание появление эпицентров в несейсмичных районах у юго-западного окончания оз. Байкал и между Удоканским и Олекминским эпицентриальными полями.

В Северной Монголии наряду с продолжавшимися афтершоками сильного. Могодского землетрясения 1967 г. наблюдалась концентрация слабых землетрясений в линейной зоне почти широтного простирания по р. Орхон.

1976 г. в регионе началися обычной сейсмической активностью. Наиболее значительным событием было землетрясение 12-го энергетического класса на Среднем Байкале, опущавшееся в ночь на 18 января с силой до 4 баллов в Тыргане (некоторые спасшие проснулись, ссыпаясь гул) и едва заметно в Иркутске (2 балла, по наблюдениям людей, находившихся в покое).

Сейсмическая активность стала проявляться в конце марта, когда произошло землетрясение 11-го класса в западной части Тункинской впадины, довольно сильно опущавшееся в ночь на 26 марта в Кырене и более слабо в Мондах и положившее начало активизации сейсмичности юго-западного фланга Байкальской рифтовой области. В пос. Монды оно ощущалось по-разному на берегах р. Иркут. По сообщению сотрудника сейсмической станции в Мондах Г. А. Немцевой, толчок сильнее ощущался по левому берегу реки, где даже просыпались спавшие, на правом берегу многие не заметили землетрясения.

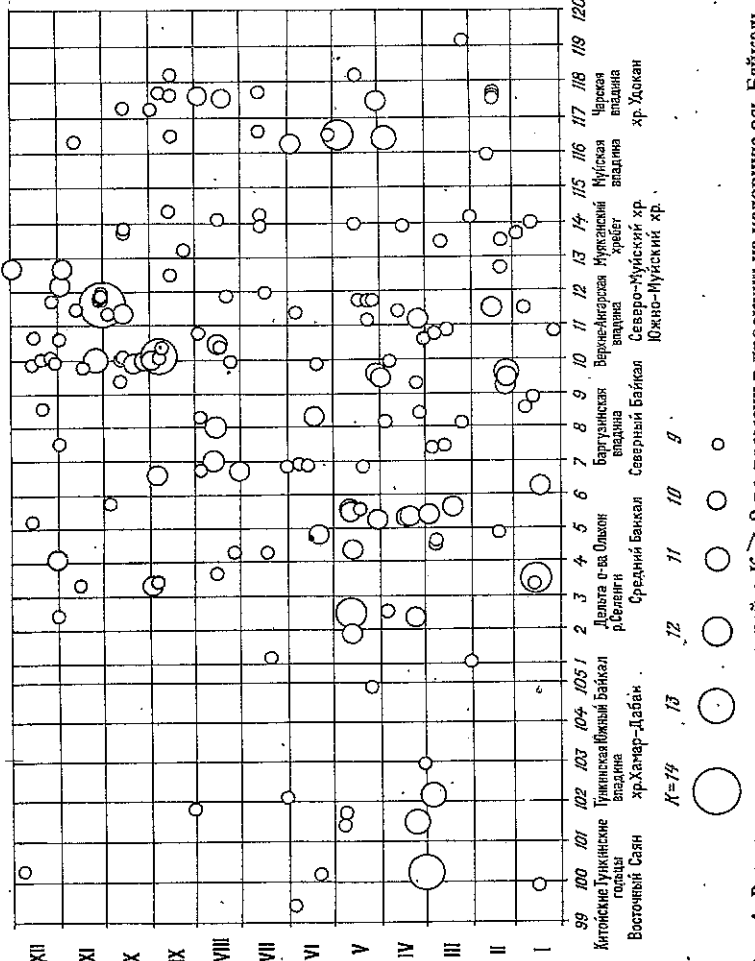


Рис. 4. Распределение землетрясений с $K \geq 9$ во времени в проекции на условную ось Байкальской рифтовой системы

1 апреля зарегистрированы землетрясения в районе меридиональной границы полосы между Восточной Тувой и Монголией 14-го класса энергии и у южной оконечности оз. Хубсугул в Северной Монголии 13-го класса, 5 апреля произошло землетрясение 11-го класса в Восточном Саяне. Эпицентр первого из указанных землетрясений располагался в районе малоисследованной Бусингольской залежи, характеризующейся признаками интенсивных тектонических движений. Эта впадина, как и впадина оз. Хубсугул, ориентирована меридионально (ортогонально Байкальским впадинам), но может быть отнесена к системе рифта. Она представляет собой глубокий и узкий асимметричный грабен, ограниченный разломами древнего заложения. Землетрясение 14-го класса отмечено здесь впервые за все время инструментальных наблюдений и сопровождалось многочисленными афтершоками. Сейсмическая деятельность продолжалась, затухая почти до конца года с заметным относительным усилением в июне, когда среди многих более слабых землетрясений зафиксированы два землетрясения 12-го класса энергии. Согласно карте рис. 3 активность 4-10 дистанции здесь 2,0.

В сейсмически активной меридиональной полосе между Восточной Тувой и Монголией известно лишь одно землетрясение 14-го класса, которое произошло в 1974 г. в смежном районе к северо-востоку и также характеризовалось значительной афтершоковой деятельностью.

Толчок 13-го класса у южного окончания оз. Хубсугул является в настоящем время наиболее сильным из зарегистрированных в этом районе, обычно не отличающимся особой сейсмичностью. Афтершоками это землетрясение практически не сопровождалось. С геологических позиций землетрясения здесь, разумеется, вполне вероятны. Хубсугульская впадина — наиболее крупная из рифтовых впадин Северной Монголии. Строение ее типично для рифтовых образований, форма асимметрична. Западный борт образует ступенчатые сбросы, отделяющие склоновину от круто поднимающегося над озером хребта Хардан-Сарык. Восточный борт более пологий с мягкими формами рельефа [5, 6].

Землетрясения в районе Бусингольской впадины и южной оконечности оз. Хуб-
сугул с привлечением наблюдений сейсмических станций Алга-
Саянской зоны и Монголии, любезно предоставленных Н.Д. Жалковским и
И. Балхиняном. По данным этих наблюдений, а также свидетелей о знаках первых
смещений продольных волн на удаленных станциях из Оперативного сейсмологи-
ческого бюллетеня сделана попытка определения механизма очагов по стандартной
методике [7] (см. каталог дополнительных параметров).

В известной мере к сходным выводам о механизме очага можно также прийти,
анализируя наблюдения над землетрясением 1 апреля в 19 ч в районе южного
окончания оз. Хубсугул.

Заметным событием было ощущение землетрясение 19 мая 12-го класса энергии
в дельте р. Селенги, проявившееся, по сообщению заведующего сейсмической
станцией Кабанск В.Х. Ходошинова, в Кабанском, Прибайкальском, Селенгин-
ском районах, а также в г. Улан-Удэ (в Кабанске, Селенгинске, Байкал-Куларе,
Красноярске, Оймуре, Мурзине, Посольске, Шигаево). В Кабанске сила его
составила 4 балла (дребезжение оконных стекол, гул), в Иркутске – 3 балла,
местами, может быть, несколько сильнее, в Тыргане – 3 балла, в Ангарске –
2 балла. Сейсмическая активность A_{10} в районе этого землетрясения в 1976 г. в
превышала значение 0,5.

Одним из важных событий в регионе была последовательность землетрясений
начиная с сентября в северной оконечности Баргузинского хребта. Единичные
слабые землетрясения в этом районе стали появляться с июня. С 21 сентября число
их стало возрастать, и 23 сентября произошел основной толчок 13-го энергети-
ческого класса, за которым до первых чисел октября последовало значительное
число повторных толчков (более трех десятков).

Затем наступил почти месячный период затишья, и со 2 ноября после земле-
трясения 11-го класса активность вновь повысилась и продолжалась до конца
года (более двух десятков толчков). Эпцентральная область описываемой сово-
купности землетрясений занимала небольшую площадь в наиболее поднятом районе
Баргузинского хребта, в его северном окончании, примыкающем к горной
перемычке между Верхне- и Нижне-Ангарской впадинами. Сейсмическая актив-
ность A_{10} превышала здесь значение 2,0 (рис. 3), т.е. наряду с районом Еусин-
гольской впадины была наиболее высокой в регионе. Землетрясения, очевидно,
свидетельствуют о дроблении этой наиболее высоко поднятой части хребта. Не
исключено, что они связаны как-то с процессами разрушения межплатинной
горной перемычки. За время инструментальных, сейсмических наблюдений райо-
ны, смежные с описываемым, и сам этот район заметно активизировались в
1972 г. В январе и мае 1972 г. здесь зарегистрированы землетрясения 12-го клас-
са, естественно, сопровождавшиеся большим числом и более слабых толчков
(порядка десятков в каждом случае). На юго-востоке этого района располагается
эпцентральная область большого ряда землетрясений, наблюдавшегося в конце
1966 – начале 1967 г. и насчитывающего до 370 толчков [8].

Совокупность землетрясений 1976 г. по количеству толчков значительно уступ-
ляет этому рою, однако наиболее сильные землетрясения в обоих случаях –
23.IX.1976 г. и 15.I.1967 г. – были примерно одинаковой энергии ($K = 13$),
и их сравнение представляет интерес. Землетрясение 23.IX.1976 г., как и 15.I.1967 г.,
ощущалось лишь в единичных населенных пунктах. В обоих случаях землетря-
сения не дали макросейсмических проявлений в Куморе и Нижнеангарске.

Землетрясение 23.IX.1976 г., по сообщению сотрудника Института земной коры
СО АН СССР П.Д. Трофимова, ощущалось в поселках Ангаркан и Верхняя Зимка
сильой до 4 баллов; очень слабо оно ощущалось в северном окончании Баргузин-
ской впадины (в пос. Улонихан – 2 балла; замечено одним человеком).

Землетрясения 1966, 1967, 1972 и 1976 гг. в целом образуют в Баргузинском
хребте сейсмически активную полосу северо-западного простирания вкрест про-
стирания основных структур.

Результаты изучения механизма очага землетрясения 23.IX.1976 г. приведены
в каталоге дополнительных параметров. Следует отметить, что механизм очага
всего лишь слабые колебания отмечены в
в катоге дополнительных параметров. Следует отметить, что механизм очага
в самом северном окончании Баргузинской впадины (Умон-Хан 2–3 балла), на

этого землетрясения лишь отчасти согласуется с механизмом очага землетрясения
15.I.1967 г. [8].

Особый интерес представляет землетрясение 2.II.1976 г. в Верхне-Ангарской
впадине. Сейсмический процесс в данном случае развивался по типичной схеме
сильного землетрясения, сопровождаемого афтершоками; наиболее сильный
толчок (14-го класса) произошел первым, который сопровождался афтершоками
значительно более слабыми (~ 50), не выше 9-го класса. Площадь афтершоков
меньше 100 км². Сейсмическая активность этого района показана на карте
(см. рис. 3).

Эпцентральная область находится в пределах сейсмически активной полосы,
проходящей вдоль рифта через Верхне-Ангарскую впадину, где землетрясения,
естественно, вполне возможны, однако практически в данном локальном районе
по имеющимся материалам еще не происходило землетрясений подобной интен-
сивности. Спорадически здесь отмечались лишь отдельные слабые землетрясения.
Вместе с тем вблизи этого района в 1968 г. имело место аналогичное по силе
(14-й класс) Верхне-Ангарское землетрясение с эпицентром у юго-восточного
берта впадины [9]. Число афтершоков в этом случае было невелико – всего
несколько слабых землетрясений ($K = 7 \div 9$) в течение нескользких часов после
главного толчка. Как известно, Верхне-Ангарская впадина характеризуется мо-
зачно-блоковым строением фундамента и представляет собой двухсторонний
грабен, по обеим бортам ограниченный разломами, которые отделяют ее с севера
от Верхне-Ангарского хребта, а с юга – от Северо-Муйского водово-лыбового
поднятия.

Землетрясение 2 ноября ощущалось с наибольшей силой вблизи пос. Уоян.
Как и Верхне-Ангарское землетрясение 1968 г., оно ощущалось на большой пло-
щади (порядка 200 тыс. км²). Обследование макросейсмических его проявле-
ний проводилось на местах В.М. Кочетковым, В.М. Жилкиным, В.А. Альевым,
Г.А. Аникиной, Г.Ф. Дренновой, Н. Колыновым, Тен Ен Илом по трассе БАМ –
от Усть-Кута до Северо-Муйского хребта и в направлении Баргузин – Уоян.
Собирались и анализировались анкетные сведения (рис. 5, табл. 3).

В области наибольших сопряжений проведены аэровизуальные наблюдения с
борта вертолета. По сообщению В.М. Кочеткова, в месте выхода из отрогов Верхне-
Ангарского хребта во впадину р. Аманант, на обращенном на запад склоне к
каньонообразной долине, с разных высот произошли многочисленные камнепады
и осипы. Ширина их следов на склоне составила от десятков сантиметров до не-
скольких метров. На противоположном склоне долины, как и на склонах, обра-
щенных к Верхне-Ангарской впадине, подобных явлений не наблюдалось. В 1,5–
2 км от этого места выше р. Аманант со сплавника на небольшой площади
(порядка 150–200 м² в поперечнике) оказался сброшенным снег. В урочище
Коокса к северу от эпцентральной области на расстоянии 50 км оленеводами
в зимовье ощущались пятибалльные сотрясения, сопровождаемые сильным гулом.
В поселках Уоян и Новый Уоян землетрясение у многих жителей вызвало испуг,

в результате чего люди, подчас раздетые, выбегали из домов. Двери комнат откры-
вались, кое-где расстраивались и осипались штукатурука, образовались трещины в
печах. Дома угрожающе дрожали. В щитовых домах (Новый Уоян) между плитами
образовались трещины до 5 см шириной. Толчки наблюдались в виде удара и
конебания земли; замечено раскачивание домов. Слышился нарастающий силь-
ный гул, вызывавший неприятные ощущения. Многие жители отмечали второй
более слабый толчок, который произошел примерно через полчаса после первого.

Сила землетрясения основного толчка постепенно убывала с расстоянием, од-
нако это убывание не было равномерным по всем направлениям. Землетрясение
не было замечено или было слабо заметно в Кичера, Дзелинца, Янчукан, Куперма,
хотя на больших расстояниях в том же направлении от эпицентра опущалось дос-
точно сильно. Макросейсмические проявления землетрясения свидетельствуют о
несимметричности изосейст. Сотрясения в направлении южного румба затухали
значительно быстрее, чем северного. Так, лишь слабые колебания отмечены в
самом северном окончании Баргузинской впадины (Умон-Хан 2–3 балла), на

Таблица 3

Микросейсмические сведения о землетрясении 2 ноября

№ п/п	Пункт	Δ , км	Δ , км	Пункт	Δ , км	№ п/п	Пункт	Δ , км
1	Новый Уоян	15	13	3—4 балла	20	33	Улин-Хан	145
	6 баллов	14	14	Делакора	70	34	Улькан	230
2	Уоян	5	15	Дагары	120	35	Ермаки	240
3	"	20	16	Лутикчан	130	36	Ния	290
	5—6 баллов	18	17	Горно-Чуйский	160	37	Усть-Кут	345
4	Уоян	5	20	Курлы	160	38		370
	5 баллов	21	20	Мамакан	230			
5	Януй	50	22	Болайбо	240	39	2 балла	
6	Коокта	50		Конец Луг	240		Дзелина	60
				Седанчи	250			
							Не опущалось	
7	Ангоя	45	23	3 балла	40		Кичера	95
	4—5 баллов	24	110 км				Баунт	140
		25	Новый Ангарск				Ципикан	175
		26	Гоулкакит				Тасжная	200
		27	Куперма				Богдарин	230
		28	Мама				Визирный	300
		29	Мусковит				Звездный	320
		30	Казачинское				Табора	320
		31					Тырка	335
		32	Кирянск				Орлиная	370
		33	Светлый				Головское	385
		34					Перевоз	440
		35					Преображенка	475

сульфата), а также газового состава (нефть, ультекислый газ, кислород), обнаружились признаки общей активизации гидродинамического режима Верхне-Ангарской впадины.

В связи с новым опущенным землетрясением, происшедшем практически в том же локальном районе 4 июня 1977 г., анализ этих измерений в целях установления определенных связей предполагается провести позже совместно для обоих землетрясений.

Результаты определения механизма очага землетрясений 2. XI приведены в каталоге дополнительных параметров.

Механизм очага этого землетрясения отличается от механизма очага землетрясения [9], наличием сдвиговой компоненты подвижки. Помимо важным сейсмическим явлением 1976 г. был рой землетрясений в ноябре—декабре близ восточной границы региона, южнее Урчанско-го хребта. В рое достиг кульминации сейсмический процесс, начавшийся здесь ранее. Грунтование слабых землетрясений до 10-го класса отмечено в августе 1975 г. в районе восточной части Амазарского хребта, ряд слабых землетрясений в близком районе зафиксирован в 1970 г., несколько восточнее в 1968 г. произошло землетрясение 12-го класса.

Область роя 1976 г. располагалась немногого восточнее эпицентральной области землетрясения 1975 г. и стала активизироваться с 20 ноября с землетрясением 10-го энергетического класса. Всего в ноябре—декабре число толчков в данном районе достигало 50, а за весь год превысило 70.

Для определения эпицентра основного толчка помимо наблюдений сети сейсмических станций Института земной коры СО АН СССР были использованы также наблюдения сейсмических станций Института геологии СО АН СССР и Сахалинского комплексного научно-исследовательского института ДВНИ АН СССР (см. региональный каталог).

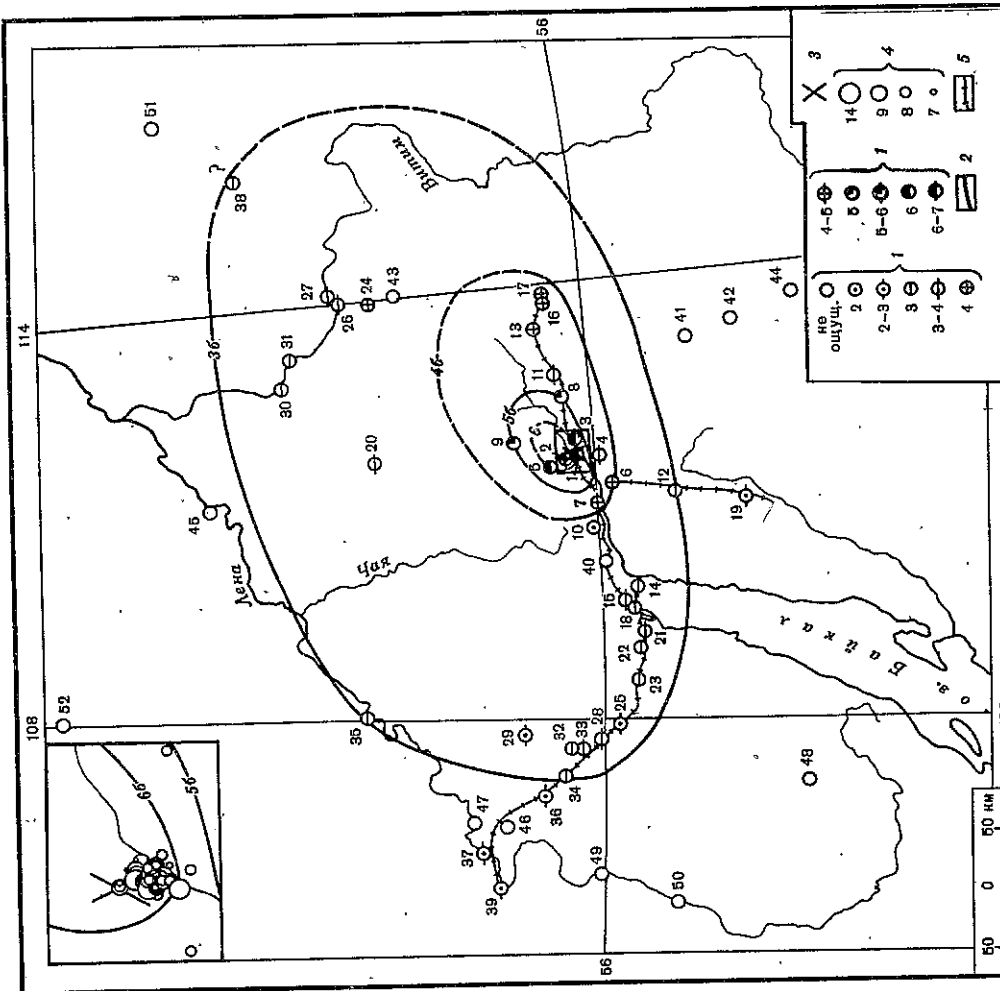
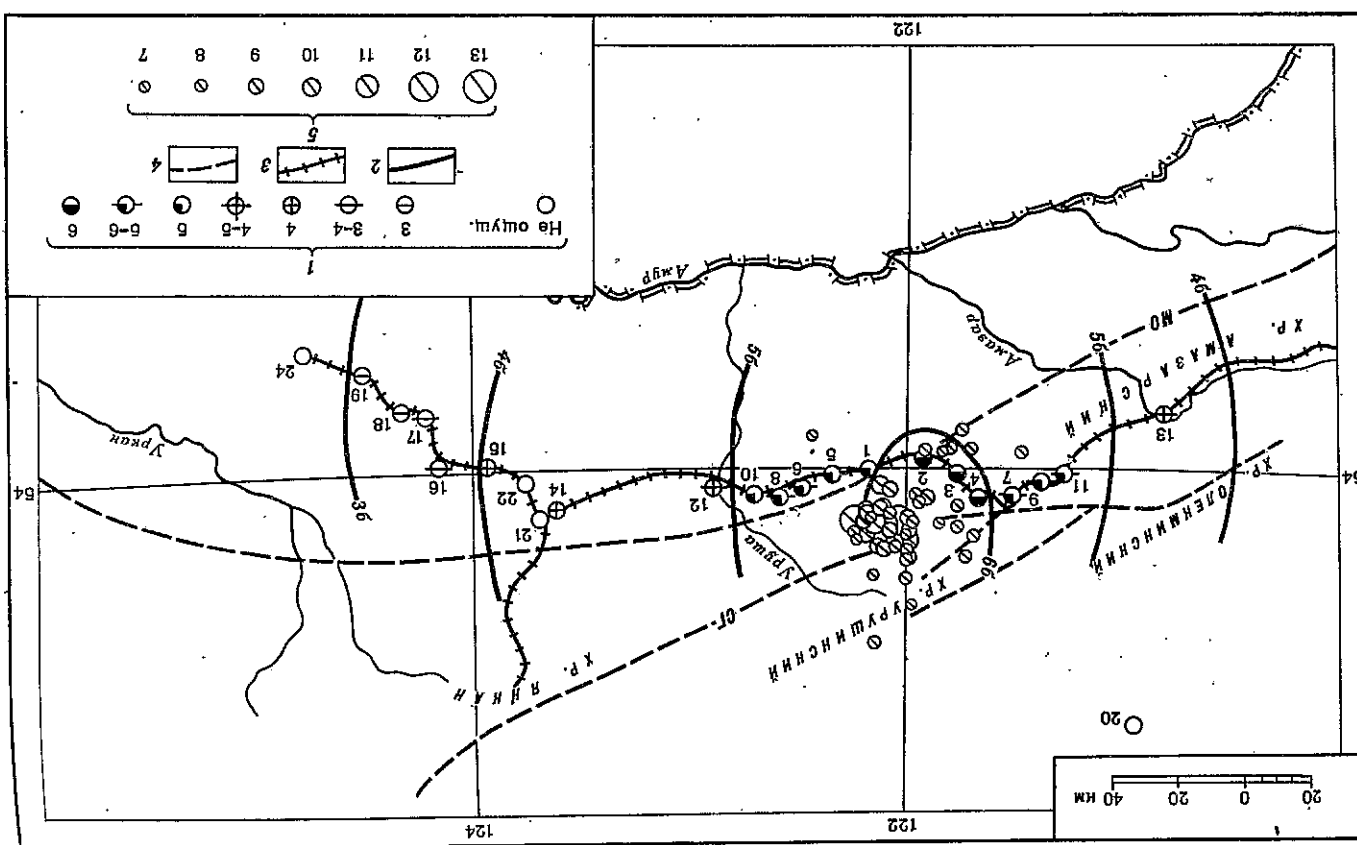


Рис. 5. Карта изосейз землетрясения 2 ноября 1976 г. в районе Верхне-Ангарской впадины. Составлена по результатам полевого обследования, возглавляемого В.М. Кочетковым, и корреспондентским сведениям.

На врезке — эпицентрическое поле основного толчка и афтершоков. 1 — балльность; 2 — изосейсты; 3 — эпизентр землетрясения 1968 г. [9].

Сильные сотрясения опущались в небольших поселках строителей, состоящих из вагончиков разного типа. Наименее устойчивыми на БАМе оказались шитовые дома, в которых возникли трещины и щели между плитами. Гул при землетрясении распространился до северной оконечности Байкала и Северо-Муйского хребта. Согласно сообщению старшего гидрогеолога Кичерской гидрогеологической партии Бурятского геологического управления В.Л. Новикова, после землетрясения 2 ноября на одном источнике подземных вод в устье р. Гонкуту наблюдались значительное увеличение дебита, на другом — образование грифонов, прежде отсутствовавших. По данным сотрудника Института земной коры СО АН СССР В.Г. Ясько, в двух точках, расположенных в 40 и 140 км от эпицентра, до и после землетрясения были замечены изменения некоторых гидрохимических показателей термальных вод (содержание кремнекислоты, гидрокарбонатов,

5 - Shepereninskij rubej K. Ulyanovskoj oblasti v yurte; 4 - mapy pri ochenjegosha i gornom; MO - Morygo-Oxotorskij, CT - Cepaninskij;
 1 - Garmipore; 2 - nooceticheskiy kogeometricheskij crejehinam
 № 6. Kapta nooceticheskiy semiperiodicheskij 24 noobera 1976 r. B Bezhem Tymyppie. Coccozheha no mirepnam moreoro odcetichorahn.
 npoberenno A.I. Capayjorahn, n kopecmojetnecrkiy crejehinam



Эпицентры землетрясений в рое располагались на площади примерно 250 км² между Монголо-Охотским и Сергачинским разломами (рис. 6). Сейсмичность указанного района, по-видимому, связана с активностью широкой зоны влияния Монголо-Охотского краевого шва, представленного на данной территории системой субпараллельных и сопутствующих им разрывов. Этот район землетрясений нужно признать уникальным в рассматриваемом районе за время проведения здесь инструментальных сейсмических наблюдений. Землетрясение 24 ноября ощущалось на большом расстоянии от эпицентра. Макросейсмические сведения были получены путем опроса населения, проведенного сотрудником ИЗК СО АН СССР А.Д. Сарапуловым, и в результате сбора корреспондентских сведений. Содействие в этом, в частности, было оказано лабораторией сейсмологии Института геологии ЯФ СО АН СССР (Б.М. Козьмин, А.Г. Ларионов). К сожалению, особенно плотности заселения территории позволяли получить информацию только по пересечению площасти в направлении восток-запад. Результаты анализа собранных макросейсмических сведений отражены на рис. 6 в табл. 4.

С наибольшей силой землетрясение проявилось в пос. Ерофей Павлович и близлежащих населенных пунктах. Жители просыпались, в испуге выбегали на улицу. Землетрясение ощущалось и вне помещений. В деревянных домах осыпалась штукатурка, растрескались кирпичные печи, в панельных зданиях на стыках стен и потолочных перекрытий появились трещины, кое-где лопались стекла окон, с полок падали книги и посуда, свиригались тяжелые предметы. Слыпался сильный подземный гул.

По сообщению начальника гидрометеорологической станции в пос. Ерофей Павлович Е.И. Комогорцева, повторные толчки ощущались через 30 и 45 м, а затем спустя 40 ч. Все они сопровождались гулом. Как и в случае описанного выше Уоянского землетрясения, согласно результатам обработки инструментальных данных, энергетический класс этих повторных толчков невелик ($K = 9 \div 10$).

Наиболее сильно ощущалось землетрясение 3 XII в 1 ч 50 м (см. региональный каталог, № 12), также сопровождавшееся гулом. Имеются сведения, что это землетрясение в поселках Ерофей Павлович, Глухарево, Славчи, Ороченский, Аячи достигало силы 4-5 баллов (отмечено в жилых помещениях и на открытом воздухе; в домах дребезжали стекла окон и посуда, рассказывающие висячие предметы, на третьем-четвертом этажах некоторые люди испытывали испуг).

При землетрясении 24 XI сорокасия 5 баллов замечены на расстоянии примерно до 50 км (свиригались кровати, большинство жителей проснулись, некоторые в испуге выбегали из домов, колебались висячие предметы, дребезжали стекла окон и посуда).

Затухание батинности с расположением в восточном и западном направлениях различалось мало — к востоку оно было несколько слабее. Из-за отсутствия информации изъясности с севера и юга оставается незамкнутым.

Отметим еще отдельные факты ощущимости некоторых слабых землетрясений. Землетрясение 10-го класса 18 мая в 18 ч с эпицентром на Южном Байкале ощущалось в Иркутске на расстоянии, несколько превышавшем 100 км, в виде слабых колебаний листами, находившимися в покое. Этот случай, хотя и необычный, не составляет особого исключения. Подобные факты, правда, сравнительно редко, отмечались при землетрясениях и в предыдущие годы.

Другое землетрясение такого же класса с эпицентром на Среднем Байкале значительно более заметно ощущалось 27 сентября 1976 г. в 21 ч в районе Еланцов-Тыргана на расстоянии порядка 20 км от эпицентра (спавшие просыпались, звенела посуда).

Как всегда, активными в этом году были три района эпицентров сильных землетрясений, постоянно активных в последние два десятилетия. Численные характеристики сейсмичности этих районов содержатся в табл. 5.

Сопоставление этих характеристик с данными за прошлые годы показывает, что количество землетрясений уменьшилось, но энергетический класс наиболее сильного землетрясения в каждом районе по сравнению с 1975 г. повысился. Больше по сравнению с предыдущими годами общее число землетрясений в о

Таблица 4

Макросейсмические сведения о землетрясении 24 ноября

байкалья в 1967 году. — В кн.: Землетрясения в СССР в 1967 году. М.: Наука, 1970, с. 109–121.

N ^o п/п	Пункт	Δ, км	N ^o п/п	Пункт	Δ, км	N ^o п/п	Пункт	Δ, км	
6	Баллов	5	баллов	5	Сибеево	45	16	Невер	140
1	Ерофеев Павлович	20	10	Сибачи	20	17	Ульярчи	145	
2	Ороченский	25	11						
3	Аячин	25							
5–6	Баллов	4–5	Баллов	12	Уруна	55	18	Корак	155
4	Глухарево	25	13	Амазэр	85	19	Джикстанда	170	
5	Улятка	30							
6	Малые Ковали	35	14	4 балла	105	20	Не опущалось	90	
7	Халан	35	15	Тахтамыгда	125	21	Гутя	90	
8	Жанна	45	15	Сковородино		22	БАМ	110	
9	Чистяка	50				23	Инччи	115	
						24	Тутник	150	
							Тайдан	185	

Средние радиусы изосейст: 6 баллов — 55 км; 5 баллов — 55 км; 4 балла — 110 км;
 3 балла — 170 км. Глубина очага: $h_I = 20$ км; $h_{IM} = 16$ км; $h = 18$ км.

Таблица 5

Количество землетрясений в эпицентральных зонах
сильных землетрясений с указанием активности и Кmax

N ^o п/п	Район	Число земле- трясений	K _{max}	A ₁₀
1	55,9–56,3° с.ш. 116,1–117,1° в.д.	76	12	До 1
2	56,3–56,7° с.ш. 120,5–121,5° в.д.	56* 70 12**	11 0,5	
3	47,9–48,7° с.ш. 102,5–103,5° в.д.	32 27**	12	До 1

* Число толчков с $K \geq 7$. ** То же, с $K \geq 8$.

втором районе объясняется включением очень слабых толчков по наблюдениям близких станций Якутской зоны. Если же сравнивать землетрясения с 8-го энергетического класса, то таких землетрясений здесь произошло несколько меньше, чем ранее.

Фактические материалы, проанализированные в настоящем обзоре, подготовлены в основном в лаборатории региональной сейсмичности Института земной коры СО АН СССР с участием К.И. Букиной, Л.В. Анистимовой, Л.И. Беловой, Н.И. Беловой, Л.П. Виноградовой, Н.И. Дорогокупец, Г.Ф. Дреновой, Л.Н. Масальской, Г.Л. Милюниковой, Г.И. Переваловой, Е.В. Фоминой.

Региональный каталог землетрясений Прибайкалья в пограничных районах составлен с учетом сейсмических наблюдений Алтае-Саянской зоны, а в полосе 96–99° по меридиану с учетом наблюдений Алтайской зоны, а в полосе 120–122° по меридиану с учетом наблюдений Якутской зоны.

ЛИТЕРАТУРА

- Голенецкий С.И., Переяслов Г.И. Программа определения типоцентров близких землетрясений на ЭВМ по наблюдениям сейсмических станций Прибайкалья. — В кн.: Изучение сейсмической опасности. Ташкент: Фан, 1971, с. 66–73.
- Голенецкий С.И., Новомейская Ф.В., Букина К.И. и др. Обзор сейсмичности Прибайкалья за 1968 г. — В кн.: Землетрясения в СССР в 1968 году. М.: Наука, 1972, с. 107–123.